

الاختبار	اختبار في مادة أو مواد التخصص	مدة الإنجاز : أربع ساعات
التخصص	الفيزياء والكيمياء	المعامل 10

[www.educaprof.com](http://www.educaprof.com)

### Consignes et instructions importantes

1. L'épreuve comporte 60 questions de la question Q1 à la question Q60
2. Chaque question comporte 4 choix de réponses (A, B, C, D) dont une seule réponse est juste ;
3. Chaque candidat(e) n'a le droit d'utiliser qu'une seule feuille réponse. Il est impossible de remplacer la feuille réponse initiale du candidat(e) par une autre ;
4. Avec un stylo à bille (bleu ou noir) cochez sur la feuille réponse à l'intérieur de la case correspondante à chaque réponse juste de la manière suivante : ☒ ou remplissez cette case de la manière suivante : ■ ;
5. La rature ou l'utilisation du Blanco sur la feuille réponse sont strictement INTERDITES ;
6. L'usage de la calculatrice scientifique non programmable est autorisé ;
7. la possession des téléphones mobiles, de tout appareil électronique intelligent et des documents papiers est strictement INTERDITE dans la salle de passation ;
8. Toute réponse ne respectant pas les règles citées ci-dessus sera rejetée ;
9. Les questions seront notées selon une pondération allant d'un (1) point à trois (3) points ;
10. Chaque réponse incorrecte sera notée par zéro (0).



## Atomistique, liaisons chimiques et cristallographie (8 points)

## Partie I : Atomistique et liaison chimique

Les nombres quantiques de l'électron célibataire d'un atome ont pour valeur :

Q1:  $n = 4$  ;  $\ell = 2$  ;  $m_\ell = +2$  ;  $m_s = +\frac{1}{2}$ .

Le numéro atomique de cet élément chimique est :

A  $Z = 11$

B  $Z = 21$

C  $Z = 39$

D  $Z = 45$

www.educaprof.com

Q2 Parmi ces affirmations, laquelle est correcte ?

A Les halogènes sont des réducteurs

B Les alcalins forment facilement des oxydes

C Les alcalino-terreux captent facilement des électrons au cours des réactions chimiques

D Les métaux de transition ont tous la même structure électronique de valence

Q3 Pour la même molécule, laquelle des affirmations suivantes est correcte ?

	Molécule	Nature de la liaison	Géométrie	Polarité
A	$CH_2Cl_2$	4 liaisons covalentes non polaires	$AX_3E$	Polaire
B	$H_3PO_4$	6 liaisons covalentes non polaires	$AX_4$	Apolaire
C	$HClO_3$	4 liaisons covalentes polaires	$AX_3E$	Polaire
D	$NaHCO_3$	4 liaisons covalentes non polaires 1 liaison ionique	$AX_3$	Polaire

## Partie II : Sites cristallographiques et formule chimique

L'or et le cuivre cristallisent tous deux dans le système cubique à faces centrées compact. Le rayon métallique du cuivre est noté  $R_{(Cu)}$ .

Q4 Le paramètre cristallin  $a_{(Cu)}$  du cuivre a pour expression :

A  $a_{(Cu)} = \frac{R_{(Cu)}}{\sqrt{2}}$

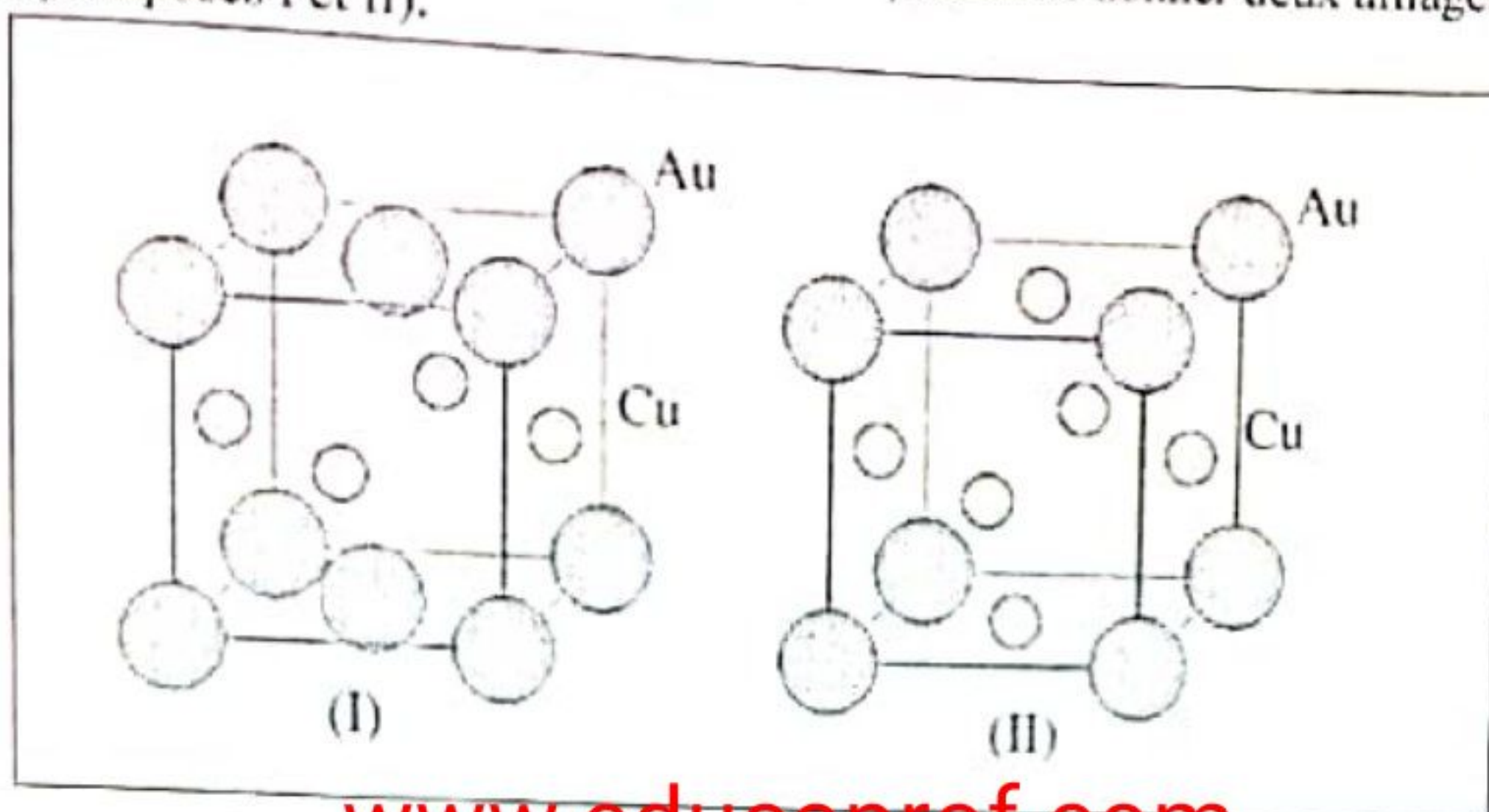
B  $a_{(Cu)} = \frac{2 \cdot R_{(Cu)}}{\sqrt{2}}$

C  $a_{(Cu)} = \frac{4 \cdot R_{(Cu)}}{\sqrt{2}}$

D  $a_{(Cu)} = \frac{\sqrt{2}}{4 \cdot R_{(Cu)}}$



À température ambiante, l'or et le cuivre sont susceptibles de donner deux alliages ordonnés représentés ci-dessous (composés I et II).

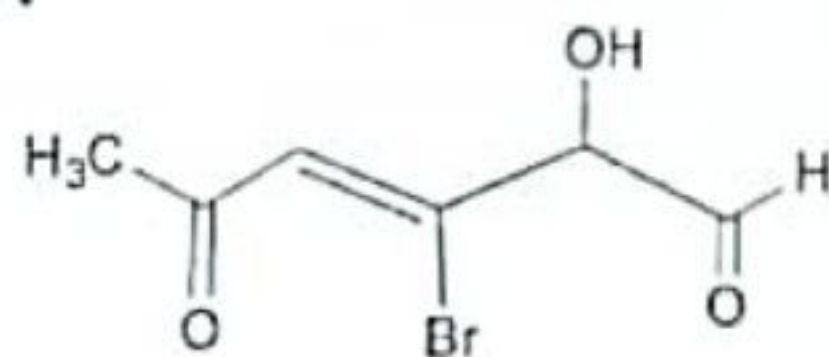


www.educaprof.com

Q5	Les formules de ces deux composés sont :	
	Composé (I)	Composé (II)
A	$AuCu$	$AuCu_2$
B	$AuCu$	$AuCu_3$
C	$Au_2Cu$	$AuCu_3$
D	$AuCu_2$	$Au_3Cu$

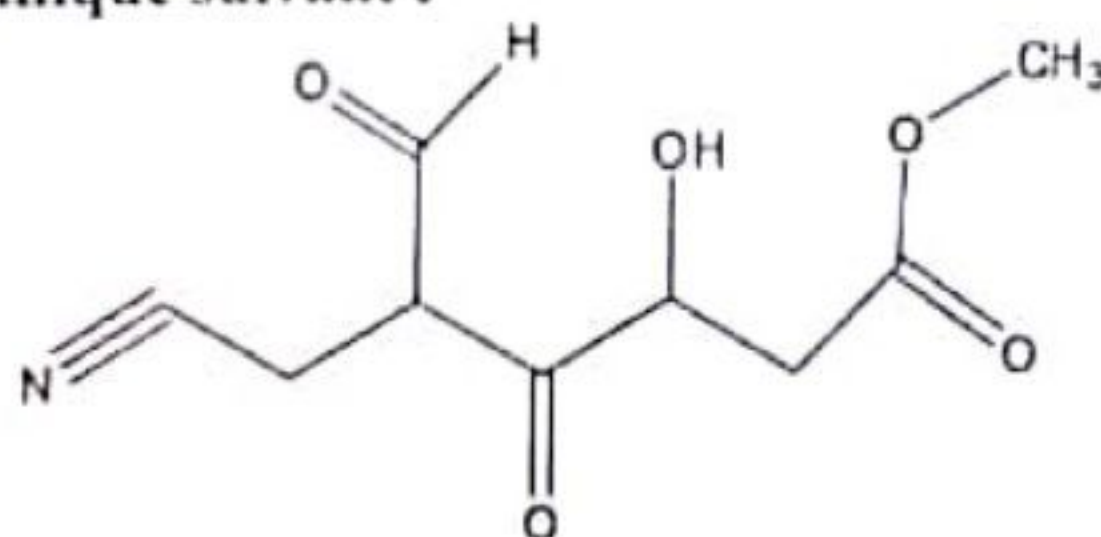
#### Chimie organique et méthodes physicochimiques (6 points)

On considère la molécule suivante :



Q6	Le nom correct de cette molécule selon la nomenclature UICPA est :
A	3-bromo-2-hydroxy hex-3-èn-1,5-dione
B	4-bromo-5-hydroxy-6-oxo hex-3-èn-2-one
C	3-bromo-2-hydroxy-5-oxo hex-3-énal
D	4-bromo-2,6-dioxo hex-3-èn-5-ol

On considère le composé organique suivant :



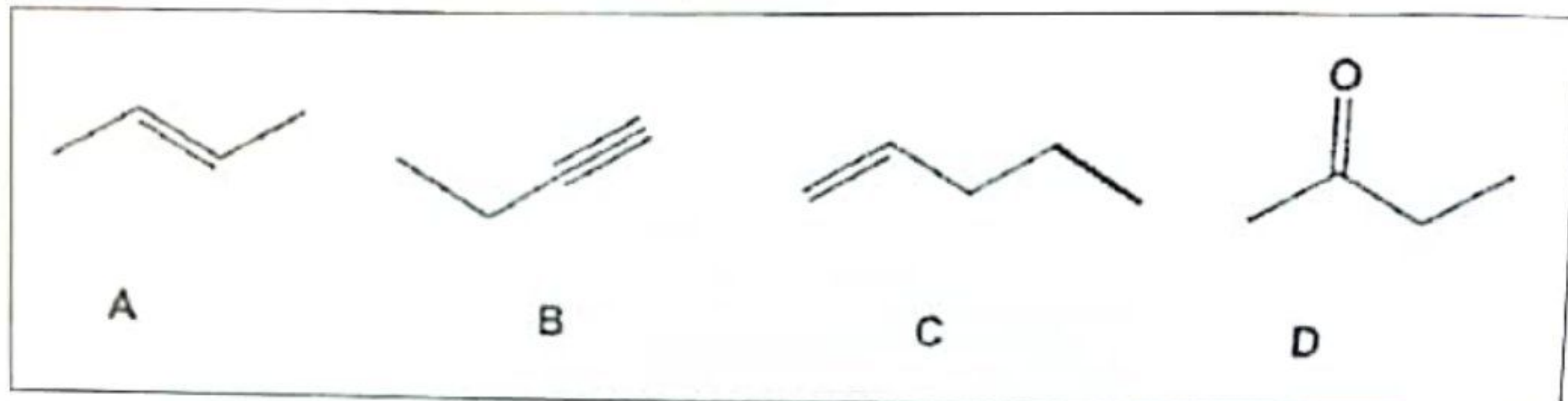


Q7 La proposition correcte pour ce composé est :

- A Le groupe prioritaire est la fonction cétone  
 B Le groupe prioritaire est la fonction alcool  
 C Le groupe prioritaire est la fonction aldéhyde  
 D Le groupe prioritaire est la fonction ester

www.educaprof.com

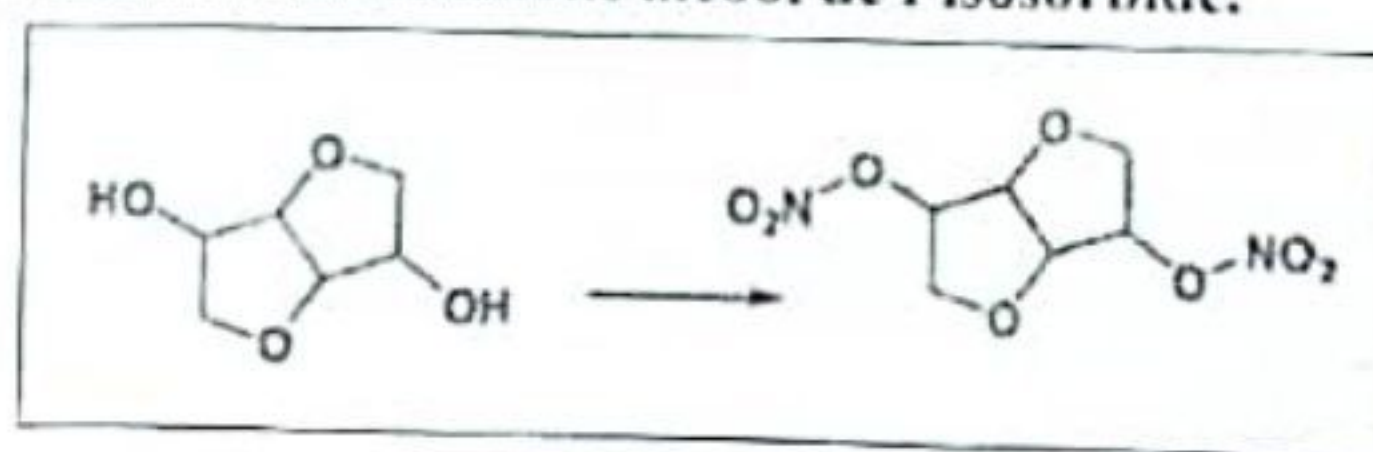
On considère les composés organiques A, B, C et D suivants :



Q8 Parmi les propositions suivantes concernant la déshydratation du butan-2-ol, la proposition correcte est :

- A Le composé A peut se former lors de la déshydratation du butan-2-ol  
 B Le composé B peut se former lors de la déshydratation du butan-2-ol  
 C Le composé C peut se former lors de la déshydratation du butan-2-ol  
 D Le composé D peut se former lors de la déshydratation du butan-2-ol

On considère la transformation des fonctions alcool de l'isosorbide.



Q9 La proposition correcte est :

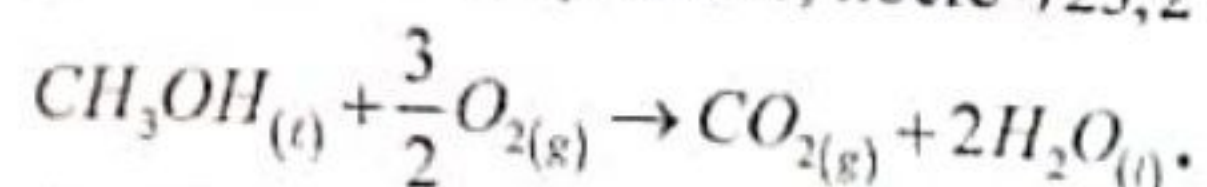
- A  $HNO_3$  est nécessaire pour réaliser cette transformation  
 B  $HNO_2$  est nécessaire pour réaliser cette transformation  
 C  $NO_2$  est nécessaire pour réaliser cette transformation  
 D Cette transformation est une nitrosation



### Thermodynamique chimique et équilibres chimiques (4 points)

#### Partie I : Enthalpie de réaction

La combustion totale d'une mole de méthanol  $CH_3OH_{(l)}$  liquide dans les conditions standards de pression et de température, libère  $725,2 \text{ kJ}$  selon la réaction suivante :



[www.educaprof.com](http://www.educaprof.com)

#### Données :

- Enthalpies molaires standards de formations de  $H_2O_{(l)}$  et de  $CO_{2(g)}$  :  
 $\Delta h_{f,298K}^0 (H_2O_{(l)}) = -285,2 \text{ kJ.mol}^{-1}$  ;  $\Delta h_{f,298K}^0 (CO_{2(g)}) = -393,5 \text{ kJ.mol}^{-1}$
- Chaleurs molaires à pression constante :  
 $C_p (H_2O_{(l)}) = 75,2 \text{ J.mol}^{-1}.K^{-1}$  ;  $C_p (CH_3OH_{(l)}) = 81,6 \text{ J.mol}^{-1}.K^{-1}$   
 $C_p (O_{2(g)}) = 34,7 \text{ J.mol}^{-1}.K^{-1}$  ;  $C_p (CO_{2(g)}) = 36,4 \text{ J.mol}^{-1}.K^{-1}$

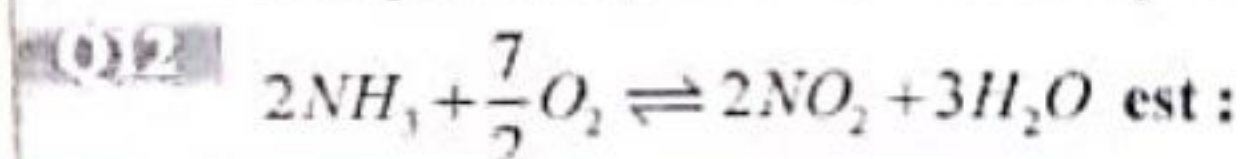
Q10	La valeur de l'enthalpie molaire standard de formation du méthanol liquide vaut :
A	$\Delta h_{f,298}^0 (CH_3OH_{(l)}) = -46,5 \text{ kJ.mol}^{-1}$
B	$\Delta h_{f,298K}^0 (CH_3OH_{(l)}) = -154,8 \text{ kJ.mol}^{-1}$
C	$\Delta h_{f,298K}^0 (CH_3OH_{(l)}) = -238,7 \text{ kJ.mol}^{-1}$
D	$\Delta h_{f,298K}^0 (CH_3OH_{(l)}) = -691,7 \text{ kJ.mol}^{-1}$

Q11	La valeur de l'enthalpie de cette réaction à $60^\circ\text{C}$ vaut :
A	$\Delta H_{r,333K}^0 = -645,50 \text{ kJ}$
B	$\Delta H_{r,333K}^0 = -700,34 \text{ kJ}$
C	$\Delta H_{r,333K}^0 = -723,34 \text{ kJ}$
D	$\Delta H_{r,333K}^0 = -467,77 \text{ kJ}$

#### Partie II : Constante d'équilibre

Les équilibres suivants :  $NH_3 + \frac{5}{4} O_2 \rightleftharpoons NO + \frac{3}{2} H_2O$  (1) et  $NO_2 \rightleftharpoons NO + \frac{1}{2} O_2$  (2)  
ont respectivement pour constantes d'équilibre  $K_1$  et  $K_2$ .

L'expression, en fonction de  $K_1$  et  $K_2$ , de la constante d'équilibre  $K_3$  pour l'équilibre :



A	$K_3 = K_1.K_2$
B	$K_3 = \left( \frac{K_1}{K_2} \right)^2$
C	$K_3 = \left( \frac{K_2}{K_1} \right)^2$
D	$K_3 = \frac{1}{K_1.K_2}$



**Cinétique chimique et catalyse (4 points)**

On considère la réaction d'oxydoréduction d'équation :  $2Fe_{(aq)}^{3+} + Sn_{(aq)}^{2+} \rightarrow Sn_{(aq)}^{4+} + 2Fe_{(aq)}^{2+}$

La loi de vitesse de cette réaction est de la forme :  $v = + \frac{d[Sn^{4+}]}{dt} = k \cdot [Fe^{3+}]^{\alpha} \cdot [Sn^{2+}]^{\beta}$

On opère avec un large excès de  $Fe^{3+}$ . On constate alors que le temps de demi-réaction concernant la disparition des ions  $Sn^{2+}$  est indépendant de leur concentration initiale.

**Q13** La valeur de  $\beta$  vaut :

- |   |             |
|---|-------------|
| A | $\beta = 1$ |
| B | $\beta = 2$ |
| C | $\beta = 3$ |
| D | $\beta = 4$ |

On réalise des mélanges stœchiométriques de différentes concentrations  $C_0$  en ions  $Fe^{3+}$ . On constate que le temps de demi-réaction dépend de  $C_0$ .

**Q14** La relation liant  $t_{1/2}$ ,  $C_0$  et  $\alpha$  est :

[www.educaprof.com](http://www.educaprof.com)

- |   |   |
|---|---|
| A | $t_{1/2} = \frac{2^{\alpha} - 1}{k \cdot \alpha \cdot (C_0)^{\alpha}}$                  |
| B | $t_{1/2} = \frac{2^{\alpha}}{k \cdot \alpha \cdot (C_0)^{\alpha}}$                      |
| C | $t_{1/2} = \frac{2^{\alpha} \cdot k \cdot \alpha \cdot (C_0)^{\alpha}}{2^{\alpha} - 1}$ |
| D | $t_{1/2} = \frac{2^{\alpha} - 1}{2^{\alpha} \cdot k \cdot \alpha \cdot (C_0)^{\alpha}}$ |

**Q15** Le temps de demi-réaction  $t_{1/2}$  est divisé par quatre (4) lorsque  $C_0$  est multiplié par deux (2).  
La valeur de  $\alpha$  vaut :

- |   |              |
|---|--------------|
| A | $\alpha = 4$ |
| B | $\alpha = 3$ |
| C | $\alpha = 2$ |
| D | $\alpha = 1$ |



**Chimie des solutions aqueuses et électrochimie (18 points)****Partie I : Mélange d'acides et de bases - réaction prépondérante**

Dans un litre d'eau à 298 K, on introduit  $n_1 = 0,15 \text{ mol}$  de chlorure d'hydrogène  $HCl$ ,  $n_2 = 0,10 \text{ mol}$  d'hydrogénosulfure de sodium  $NaHS$  et  $n_3 = 0,15 \text{ mol}$  d'acétate de sodium  $NaCH_3CO_2$ .

Données à 25°C :  $pK_{A1} = pK_A(H_2S_{(aq)} / HS_{(aq)}^-) = 7,0$  ;  $pK_{A2} = pK_A(HS_{(aq)}^- / S_{(aq)}^{2-}) = 13,0$   
 $pK_{A3} = pK_A(CH_3CO_2H_{(aq)} / CH_3CO_2^-(aq)) = 4,8$

Q16	La composition du système à l'équilibre chimique est :		
A	$[CH_3CO_2H] = 0,05 \text{ mol.L}^{-1}$	$[CH_3CO_2^-] = 0,10 \text{ mol.L}^{-1}$	$[H_2S] = 0,10 \text{ mol.L}^{-1}$
B	$[H_3O^+] = 0,05 \text{ mol.L}^{-1}$	$[CH_3CO_2^-] = 0,10 \text{ mol.L}^{-1}$	$[H_2S] = 0,01 \text{ mol.L}^{-1}$
C	$[CH_3CO_2H] = 0,1 \text{ mol.L}^{-1}$	$[CH_3CO_2^-] = 0,05 \text{ mol.L}^{-1}$	$[HS^-] = 0,10 \text{ mol.L}^{-1}$
D	$[CH_3CO_2H] = 0,05 \text{ mol.L}^{-1}$	$[CH_3CO_2^-] = 0,10 \text{ mol.L}^{-1}$	$[H_3O^+] = 0,05 \text{ mol.L}^{-1}$

**Partie II : Solubilité de l'acide benzoïque**

La réaction de dissolution de l'acide benzoïque dans l'eau s'écrit :  $C_6H_5CO_2H_{(s)} \rightleftharpoons C_6H_5CO_2H_{(aq)}$ .

Sa constante d'équilibre thermodynamique est notée  $K_s = 10^{-1,5}$  à 298 K.

Données :  $pK_A(C_6H_5CO_2H_{(aq)} / C_6H_5CO_2^-(aq)) = 5$  ;  $pK_s = 14$

Q17	La solubilité $s$ de l'acide benzoïque en négligeant sa réaction avec l'eau est :	
A	$s = 2,20.10^{-1} \text{ mol.L}^{-1}$	
B	$s = 3,20.10^{-3} \text{ mol.L}^{-1}$	
C	$s = 3,16.10^{-2} \text{ mol.L}^{-1}$	
D	$s = 4,00.10^{-2} \text{ mol.L}^{-1}$	

[www.educaprof.com](http://www.educaprof.com)

Q18	La solubilité $s'$ de l'acide benzoïque en tenant compte de ses propriétés acido-basiques est :	
A	$s' = 4,22.10^{-2} \text{ mol.L}^{-1}$	
B	$s' = 3,22.10^{-2} \text{ mol.L}^{-1}$	
C	$s' = 5,50.10^{-2} \text{ mol.L}^{-1}$	
D	$s' = 5,22.10^{-2} \text{ mol.L}^{-1}$	

Q19	Le $pH$ d'une solution aqueuse saturée d'acide benzoïque à 298 K est :	
A	$pH = 2,40$	
B	$pH = 3,25$	
C	$pH = 4,05$	
D	$pH = 4,25$	



Le benzoate de sodium  $NaC_6H_5CO_2$  est un sel ionique soluble dans l'eau. On dispose d'un volume  $V_0 = 1 L$  d'une solution aqueuse  $Na^+_{(aq)} + C_6H_5CO_2^-$  de ce sel à la concentration molaire  $C_0 = 3,52 \cdot 10^{-1} mol.L^{-1}$ . À cette solution on ajoute une solution concentrée d'acide chlorhydrique. L'acide introduit étant fortement concentré, on pourra négliger la variation du volume de la solution.

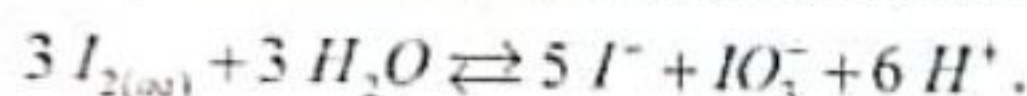
Le pH de précipitation de l'acide benzoïque lors de l'addition de l'acide chlorhydrique est :

- A  $pH = 4,00$
- B  $pH = 4,20$
- C  $pH = 5,00$
- D  $pH = 6,00$

[www.educaprof.com](http://www.educaprof.com)

### Partie III : Dismutation du diiode

L'équation de la réaction de dismutation du diiode aqueux en iodure  $I^-$  et iodate  $IO_3^-$  est :



Données :  $E^0(I_{2(aq)} / I^-) = 0,621 V$  ;  $E^0(IO_3^- / I_{2(aq)}) = 1,20 V$

La constante d'équilibre  $K_1$  associée à l'équation de la réaction de dismutation du diiode aqueux est :

- A  $K_1 = 5,6 \cdot 10^{-49}$
- B  $K_1 = 7,8 \cdot 10^{-46}$
- C  $K_1 = 4,5 \cdot 10^{-42}$
- D  $K_1 = 8,6 \cdot 10^{-49}$

On peut définir une « constante apparente »  $K_2$  telle que  $K_1 = K_2 \cdot [H^+]^6$ . La valeur de pH correspondant à  $K_2 = 1$  vaut :

- A  $pH = 5,0$
- B  $pH = 6,0$
- C  $pH = 8,0$
- D  $pH = 9,0$

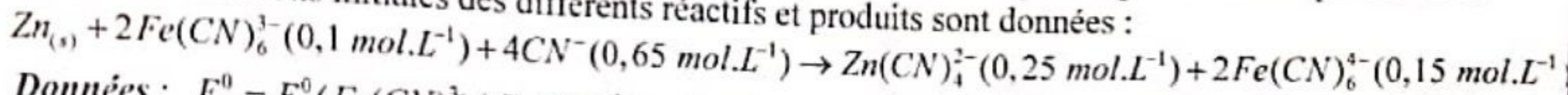
L'expression du potentiel standard d'oxydoréduction du couple  $(IO_3^- / I^-)$  à  $pH = 0$  est :

- A  $E^0_{(IO_3^- / I^-)} = 5.E^0_{(IO_3^- / I_2)} + E^0_{(I_2 / I^-)}$
- B  $E^0_{(IO_3^- / I^-)} = \frac{1}{6} (5.E^0_{(IO_3^- / I_2)} + E^0_{(I_2 / I^-)})$
- C  $E^0_{(IO_3^- / I^-)} = E^0_{(IO_3^- / I_2)} + E^0_{(I_2 / I^-)}$
- D  $E^0_{(IO_3^- / I^-)} = 5.E^0_{(IO_3^- / I_2)} + 2.E^0_{(I_2 / I^-)}$



**Partie IV : Transformation chimique dans une pile**

Au sein d'une pile se produit une transformation chimique modélisée par l'équation chimique suivante où les concentrations initiales des différents réactifs et produits sont données :



**Données :**  $E_1^0 = E^0(\text{Fe}(\text{CN})_6^{3-} / \text{Fe}(\text{CN})_6^{4-}) = 0,36 \text{ V}$  ;  $E_2^0 = E^0(\text{Zn}(\text{CN})_4^{2-} / \text{Zn}) = -1,26 \text{ V}$

Q24	L'écriture conventionnelle (schéma conventionnel) de la pile est :
A	$(+) \text{Zn}   \text{Zn}(\text{CN})_4^{2-}, \text{CN}^{-}    \text{Fe}(\text{CN})_6^{3-}, \text{Fe}(\text{CN})_6^{4-}   \text{Pt} (-)$
B	$(-) \text{Zn}   \text{Zn}(\text{CN})_4^{2-}    \text{Fe}(\text{CN})_6^{3-}, \text{Fe}(\text{CN})_6^{4-}   \text{Pt} (+)$
C	$(-) \text{Zn}   \text{Zn}(\text{CN})_4^{2-}, \text{CN}^{-}    \text{Fe}(\text{CN})_6^{3-}, \text{Fe}(\text{CN})_6^{4-}   \text{Pt} (+)$
D	$(-) \text{Zn}   \text{Zn}(\text{CN})_4^{2-}    \text{Fe}(\text{CN})_6^{3-}   \text{Fe} (+)$

[www.educaprof.com](http://www.educaprof.com)

Q25	La f.e.m. de la pile vaut :
A	$\mathcal{E} = +1,1016 \text{ V}$
B	$\mathcal{E} = +1,6056 \text{ V}$
C	$\mathcal{E} = +1,6000 \text{ V}$
D	$\mathcal{E} = +0,9000 \text{ V}$

**Partie V : Influence du potentiel sur les concentrations**

On plonge un fil de platine  $\text{Pt}$  dans une solution contenant les ions  $\text{Fe}^{2+}$  et  $\text{Fe}^{3+}$  telle que :  $[\text{Fe}^{2+}] = [\text{Fe}^{3+}] = 10^{-2} \text{ mol.L}^{-1}$ . Le potentiel pris par l'électrode  $\text{Pt}$  vaut  $E_{\text{Pt}} = 0,68 \text{ V}$ .

On impose à l'électrode précédente le potentiel  $E = 0,73 \text{ V}$  et on attend que l'équilibre soit établi.

**Donnée :**  $E^0(\text{Fe}^{3+} / \text{Fe}^{2+}) = 0,68 \text{ V}$  dans  $\text{H}_2\text{SO}_4$  à  $1 \text{ mol.L}^{-1}$ .

Q26	Les concentrations molaires effectives finales en ions $\text{Fe}^{2+}$ et $\text{Fe}^{3+}$ valent :
A	$[\text{Fe}^{2+}] = 2,5 \cdot 10^{-3} \text{ mol.L}^{-1}$ ; $[\text{Fe}^{3+}] = 1,75 \cdot 10^{-2} \text{ mol.L}^{-1}$
B	$[\text{Fe}^{2+}] = 7,5 \cdot 10^{-3} \text{ mol.L}^{-1}$ ; $[\text{Fe}^{3+}] = 2,5 \cdot 10^{-3} \text{ mol.L}^{-1}$
C	$[\text{Fe}^{2+}] = 1,75 \cdot 10^{-2} \text{ mol.L}^{-1}$ ; $[\text{Fe}^{3+}] = 7,5 \cdot 10^{-3} \text{ mol.L}^{-1}$
D	$[\text{Fe}^{2+}] = 2,5 \cdot 10^{-2} \text{ mol.L}^{-1}$ ; $[\text{Fe}^{3+}] = 1,75 \cdot 10^{-2} \text{ mol.L}^{-1}$



Physique (60 points)

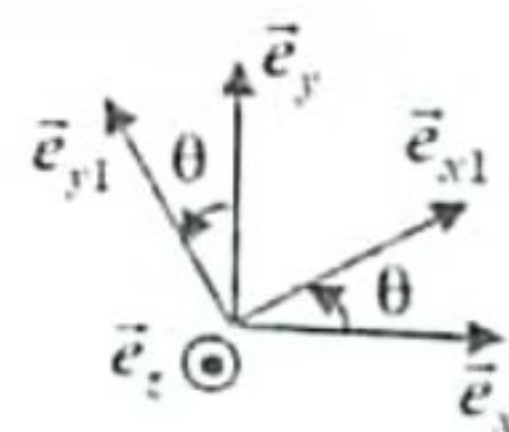
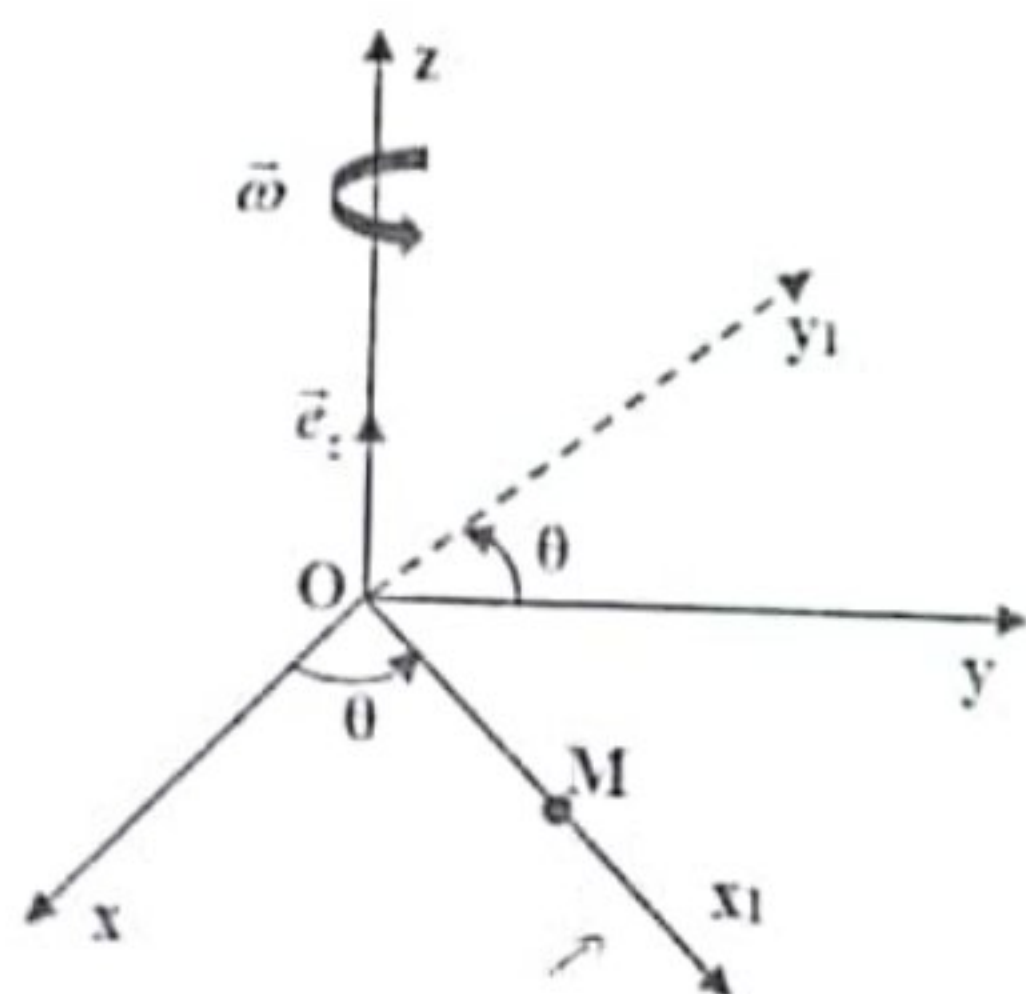
Mécanique du point et du solide (23 points)

Partie I : Anneau en rotation sur une tige

On considère un repère fixe  $\mathcal{R}(O, x, y, z)$  muni d'une base orthonormée  $(\vec{e}_x, \vec{e}_y, \vec{e}_z)$ . L'axe  $Oz$ , est vertical ascendant. Une tige  $Ox_1$  tourne autour de l'axe  $Oz$ , en restant à tout instant dans le plan  $xOy$ , avec une vitesse angulaire  $\vec{\omega}(\mathcal{R}_1 / \mathcal{R}) = \omega_0 \vec{e}_z$  ( $\omega_0$  constant). Notons  $\mathcal{R}_1(O, x_1, y_1, z)$  le repère lié à la tige et en mouvement par rapport à  $\mathcal{R}$ . Soit  $(\vec{e}_{x1}, \vec{e}_{y1}, \vec{e}_z)$  la base de  $\mathcal{R}_1$ .

Un anneau  $M$ , considéré comme un point matériel de masse  $m$ , se déplace sans frottement suivant  $Ox_1$ .

$M$  est soumis à son poids  $\vec{P}$ , à la réaction  $\vec{T}$  de la tige et la force  $\vec{F} = -mK(r - a)\vec{e}_{x1}$ ; où  $r = \|\vec{OM}\|$  et  $K$  et  $a$  des constantes positives. L'accélération de la pesanteur  $\vec{g}$  est supposée constante.



Q28

Les expressions de la vitesse relative  $\vec{V}_{\mathcal{R}_1}(M)$  et l'accélération relative  $\vec{\gamma}_{\mathcal{R}_1}(M)$  de  $M$  sont :

- A .  $\vec{V}_{\mathcal{R}_1}(M) = \dot{r}\vec{e}_{x1}$  ;  $\vec{\gamma}_{\mathcal{R}_1}(M) = \ddot{r}\vec{e}_{x1}$
- B  $\vec{V}_{\mathcal{R}_1}(M) = \dot{r}\vec{e}_{x1} + r\omega_0\vec{e}_{y1}$  ;  $\vec{\gamma}_{\mathcal{R}_1}(M) = \ddot{r}\vec{e}_{x1}$
- C  $\vec{V}_{\mathcal{R}_1}(M) = r\omega_0\vec{e}_{y1}$  ;  $\vec{\gamma}_{\mathcal{R}_1}(M) = \ddot{r}\vec{e}_{x1}$
- D  $\vec{V}_{\mathcal{R}_1}(M) = \dot{r}\vec{e}_{x1}$  ;  $\vec{\gamma}_{\mathcal{R}_1}(M) = \ddot{r}\vec{e}_{x1} + r\omega_0^2\vec{e}_{x1}$



Q28 Les expressions de l'accélération d'entraînement  $\vec{\gamma}_e$  et l'accélération complémentaire  $\vec{\gamma}_c$  de  $M$  sont :

- A  $\vec{\gamma}_e = 2\dot{r}\omega_0\vec{e}_{x1}$  ;  $\vec{\gamma}_c = -r\omega_0^2\vec{e}_{y1}$
- B  $\vec{\gamma}_e = r\omega_0^2\vec{e}_{x1}$  ;  $\vec{\gamma}_c = -2\dot{r}\omega_0\vec{e}_{y1}$
- C  $\vec{\gamma}_e = -2\dot{r}\omega_0\vec{e}_{x1}$  ;  $\vec{\gamma}_c = r\omega_0^2\vec{e}_{y1}$
- D  $\vec{\gamma}_e = -r\omega_0^2\vec{e}_{x1}$  ;  $\vec{\gamma}_c = 2\dot{r}\omega_0\vec{e}_{y1}$

www.educaprof.com

Q29 Les expressions des forces d'inertie d'entraînement  $\vec{F}_{ie}$  et de Coriolis  $\vec{F}_{ic}$  subis par  $M$  sont :

- A  $\vec{F}_{ie} = -mr\omega_0^2\vec{e}_{x1}$  ;  $\vec{F}_{ic} = 2m\dot{r}\omega_0\vec{e}_{y1}$
- B  $\vec{F}_{ie} = mr\omega_0^2\vec{e}_{x1}$  ;  $\vec{F}_{ic} = -2m\dot{r}\omega_0\vec{e}_{y1}$
- C  $\vec{F}_{ie} = mr\omega_0\vec{e}_{x1}$  ;  $\vec{F}_{ic} = -2m\dot{r}\omega_0\vec{e}_{y1}$
- D  $\vec{F}_{ie} = mr\omega_0\vec{e}_{x1}$  ;  $\vec{F}_{ic} = -2m\dot{r}\omega_0^2\vec{e}_{y1}$

Q30 L'équation différentielle du mouvement de  $M$  s'écrit :

- A  $\ddot{r} + r(K - \omega_0^2) = Ka^2$
- B  $\ddot{r} + r(K^2 - \omega_0^2) = Ka$
- C  $\ddot{r} + r(K - \omega_0^2) = Ka$
- D  $\ddot{r} + r(K - \omega_0^2) = 0$

Q31 L'expression de l'intensité de la réaction  $\vec{T}$  de la tige  $Ox_1$  sur  $M$  est:

- A  $T = m\sqrt{g^2 + \dot{r}^2\omega_0^2}$
- B  $T = m\sqrt{g^2 + 4\dot{r}^2\omega_0^2}$
- C  $T = m\sqrt{g^2 + 4r^2\omega_0^2}$
- D  $T = m\sqrt{g^2 + r^2\omega_0^2}$



L'équation horaire du mouvement de  $M$  dans  $\mathcal{R}_1$  s'écrit :

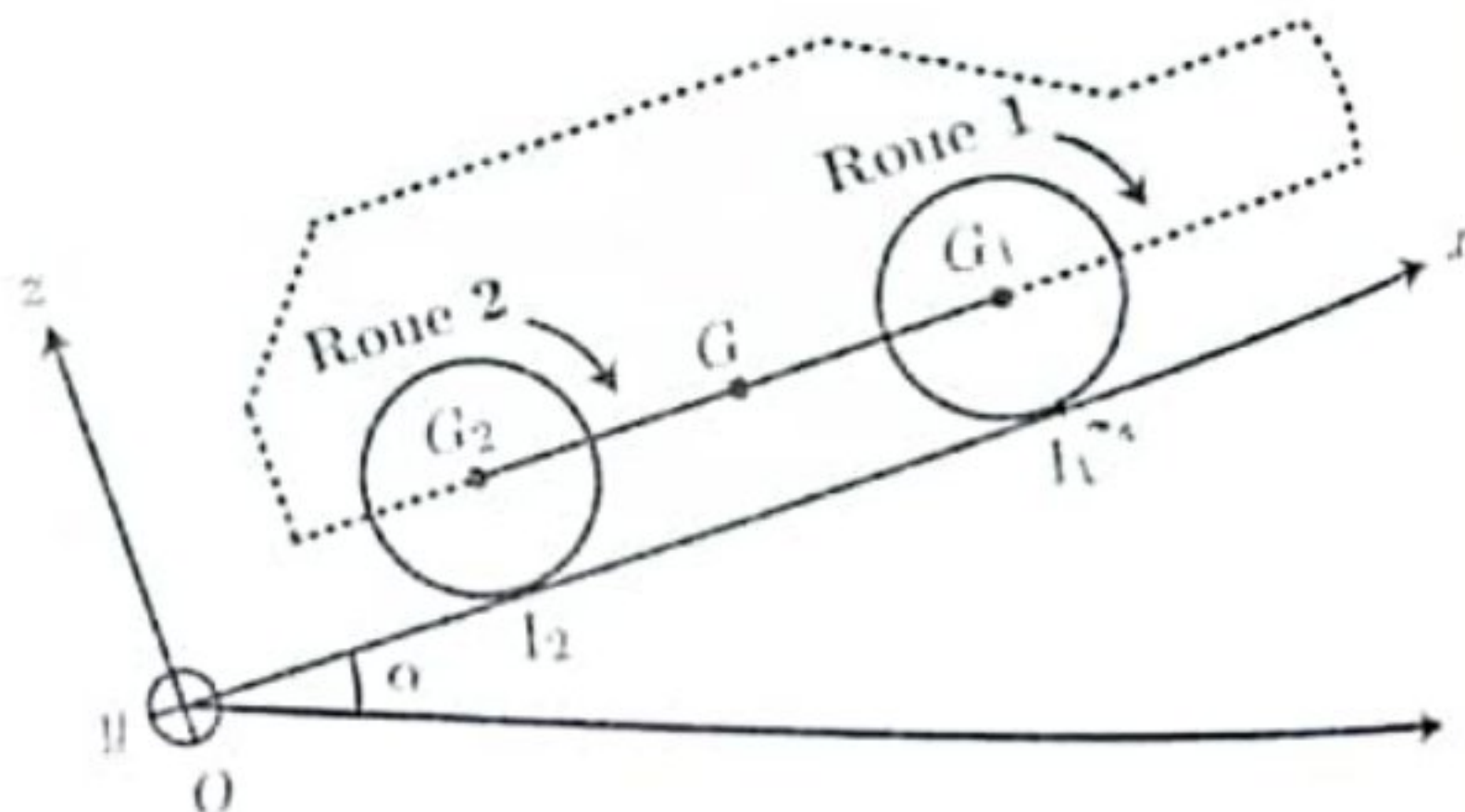
À  $t_0 = 0$  ;  $r = a$  et  $\dot{r} = 0$  (On a  $K < \omega_0^2$  et on posera  $\lambda^2 = K - \omega_0^2$ )

A	$r(t) = \frac{a\omega_0^2}{\lambda^2} \cos(\lambda t) + \frac{Ka}{\lambda^2}$
B	$r(t) = \frac{-a\omega_0^2}{\lambda^2} \cos(\lambda t) + \frac{Ka^2}{\lambda^2}$
C	$r(t) = \frac{-a\omega_0^2}{\lambda^2} \cos(\lambda t) + \frac{Ka}{\lambda}$
D	$r(t) = \frac{-a\omega_0^2}{\lambda^2} \cos(\lambda t) + \frac{Ka}{\lambda^2}$

## Partie II : Mouvement d'une voiture sur un plan incliné

Une voiture gravite un plan incliné, faisant un angle  $\alpha$  avec l'horizontal. Le véhicule est modélisé comme suit : une roue avant, une roue arrière et une tige.

La roue avant, motrice, dite roue 1 dans la suite, est assimilée à un disque de rayon  $a$ , de masse  $m$ , de centre d'inertie  $G_1$  confondu avec son centre géométrique ; on note  $J = \frac{1}{2}ma^2$  le moment d'inertie de la roue par rapport à son axe. On repère la position de  $G_1$  par son abscisse  $x_1$  sur l'axe  $(Ox)$  et la rotation de la roue par l'angle  $\theta_1$  par rapport à la verticale. On note  $I_1$  le point d'impact de la roue 1 avec le sol.



La roue arrière, porteuse, non motrice, dite roue 2 dans la suite, de centre d'inertie  $G_2$ , de même masse  $m$ , de même rayon  $a$  et de même moment d'inertie  $J$  par rapport à son axe. On repère la position de  $G_2$  par son abscisse  $x_2$  sur l'axe  $(Ox)$  et la rotation de la roue par l'angle  $\theta_2$ . On note  $I_2$  le point d'impact de la roue 2 avec le sol.

L'ensemble  $S$  {carcasse de la voiture et moteur}, de masse  $M$ , est modélisé par une tige, de longueur  $2b$ , reliant  $G_1$  et  $G_2$ . Le centre d'inertie  $G$  de  $S$  est le milieu de  $G_1G_2 = 2b$ . L'abscisse de  $G$  est noté  $x$ .

Le coefficient de frottement entre une roue et le sol, identique pour les deux roues est noté  $f$  ( $f = cste > 0$ ).

Les actions de l'ensemble  $S$  sur la roue 1 en  $G_1$  sont réductibles à une résultante  $\vec{F}_1 = F_{1x}\vec{e}_x + F_{1z}\vec{e}_z$  et à un couple moteur  $\vec{\Gamma} = \Gamma\vec{e}_y$ , avec  $\Gamma > 0$ .

L'action de l'ensemble  $S$  sur la roue 2 en  $G_2$  est réductible à une résultante  $\vec{F}_2 = F_{2x}\vec{e}_x + F_{2z}\vec{e}_z$ .

L'action du sol sur la roue 1 est réductible à une résultante  $\vec{R}_1 = T_1\vec{e}_x + N_1\vec{e}_z$  et sur la roue 2 à une résultante  $\vec{R}_2 = T_2\vec{e}_x + N_2\vec{e}_z$ .

On suppose que les deux roues roulent sans glisser sur le sol, ( $m \ll M$ ) et le référentiel  $R(O, x, y, z)$  est galiléen.



Q35

Les conditions du non glissement en  $I_1$  et  $I_2$  conduisent aux relations suivantes :

- A  $\dot{x} = 2\dot{x}_1 = 2\dot{x}_2$  ;  $\dot{\theta}_1 = \dot{\theta}_2 = \frac{\dot{x}}{a}$
- B  $\dot{x} = \dot{x}_1 = \dot{x}_2$  ;  $\dot{\theta}_1 = \dot{\theta}_2 = \frac{\dot{x}}{a}$
- C  $\dot{x} = \dot{x}_1 = \dot{x}_2$  ;  $\dot{\theta}_1 = \dot{\theta}_2 = \frac{\dot{x}}{2a}$
- D  $\dot{x} = 2\dot{x}_1 = 2\dot{x}_2$  ;  $\dot{\theta}_1 = \dot{\theta}_2 = \frac{2\dot{x}}{a}$

Q36

Par application du théorème de la résultante cinétique à la roue 1 et à la roue 2 on obtient :

- A  $m\ddot{x} = -mg \sin \alpha + F_{1x} + T_1 = -mg \sin \alpha + F_{2x} + T_2$  ;  $N_1 + F_{1z} = N_2 + F_{2z} = mg \cos \alpha$
- B  $m\ddot{x} = mg \sin \alpha + F_{1x} + T_1 = mg \sin \alpha + F_{2x} + T_2$  ;  $N_1 + F_{1z} = N_2 + F_{2z} = mg \cos \alpha$
- C  $m\ddot{x} = -mg \sin \alpha + F_{1x} = -mg \sin \alpha + F_{2x}$  ;  $N_1 + F_{1z} = N_2 + F_{2z} = mg \cos \alpha$
- D  $m\ddot{x} = -mg \sin \alpha + T_1 = -mg \sin \alpha + T_2$  ;  $N_1 + F_{1z} = N_2 + F_{2z} = mg \cos \alpha$

Q37

Par application du théorème du moment cinétique à la roue 1 en  $G_1$  et à la roue 2 en  $G_2$  on obtient :

- A  $\ddot{x} = \left( \frac{\Gamma}{ma} - \frac{T_1}{m} \right) = \frac{-T_2}{m}$
- B  $\ddot{x} = 2 \left( \frac{\Gamma}{ma} - \frac{T_1}{m} \right) = \frac{-T_2}{m}$
- C  $\ddot{x} = 2 \left( \frac{\Gamma}{ma} - \frac{T_1}{m} \right) = \frac{-2T_2}{m}$
- D  $\ddot{x} = 2 \left( \frac{\Gamma}{m} - \frac{T_1}{m} \right) = \frac{-2T_2}{m}$

www.educaprof.com

Q38

Les expressions des composantes  $F_{1x}$  et  $F_{2x}$  sont :

- A  $F_{1x} = \frac{1}{2} m\ddot{x} + mg \sin \alpha - \frac{\Gamma}{a}$  ;  $F_{2x} = \frac{1}{2} m\ddot{x} + mg \sin \alpha$
- B  $F_{1x} = m\ddot{x} + mg \sin \alpha - \frac{\Gamma}{a}$  ;  $F_{2x} = m\ddot{x} + mg \sin \alpha$
- C  $F_{1x} = \frac{3}{2} m\ddot{x} + mg \sin \alpha - \frac{\Gamma}{a}$  ;  $F_{2x} = \frac{3}{2} m\ddot{x} + mg \sin \alpha$
- D  $F_{1x} = \frac{3}{2} m\ddot{x} + mg \sin \alpha + \frac{\Gamma}{a}$  ;  $F_{2x} = \frac{3}{2} m\ddot{x} - mg \sin \alpha$



Q37

Les expressions des composantes  $F_{1z}$  et  $F_{2z}$  sont:

A

$$F_{1z} = \frac{1}{2} \left( \frac{\Gamma}{b} - Mg \cos \alpha \right) ; F_{2z} = -\frac{1}{2} \left( \frac{\Gamma}{b} + Mg \cos \alpha \right)$$

B

$$F_{1z} = \left( \frac{\Gamma}{b} - Mg \cos \alpha \right) ; F_{2z} = -\left( \frac{\Gamma}{b} + Mg \cos \alpha \right)$$

C

$$F_{1z} = -\frac{1}{2} \left( \frac{\Gamma}{b} - Mg \cos \alpha \right) ; F_{2z} = \frac{1}{2} \left( \frac{\Gamma}{b} + Mg \cos \alpha \right)$$

D

$$F_{1z} = \frac{3}{2} \left( \frac{\Gamma}{b} - Mg \cos \alpha \right) ; F_{2z} = -\frac{3}{2} \left( \frac{\Gamma}{b} + Mg \cos \alpha \right)$$

Q38

L'équation différentielle du mouvement de  $G$  s'écrit :

A

$$\ddot{x} = g \sin \alpha - \frac{\Gamma}{2Ma}$$

B

$$\ddot{x} = \frac{2\Gamma}{ma} - g \sin \alpha$$

C

$$\ddot{x} = \frac{\Gamma}{Ma} - g \sin \alpha$$

D

$$\ddot{x} = g \sin \alpha - \frac{\Gamma}{2ma}$$

Q39

La condition qui assure un mouvement accéléré du véhicule sur la pente est :

A

$$\Gamma > Mag \sin \alpha$$

B

$$\Gamma > 2Mag \sin \alpha$$

C

$$\Gamma > \frac{1}{2} mag \sin \alpha$$

D

$$\Gamma > 2mag \sin \alpha$$

[www.educaprof.com](http://www.educaprof.com)



**Thermodynamique (4 points)**

Un moteur thermique fonctionne réversiblement entre deux sources de températures variables au cours du temps ou pseudo-sources :

- la température de la source chaude est notée  $T_C(t)$  ;
- la température de la source froide est notée  $T_F(t)$ .

Les sources ont la même capacité thermique  $C$  et leurs températures initiales sont respectivement  $T_{0C}$  et  $T_{0F}$ . Le moteur fonctionne entre l'instant  $t_0 = 0$  et un instant  $t_1$  où l'équilibre est atteint.

<b>Q40</b>	La relation entre $T_C(t)$ , $T_F(t)$ , $T_{0C}$ et $T_{0F}$ à un instant $t$ s'écrit :
A	$T_C(t) \cdot T_{0C} = T_F(t) \cdot T_{0F}$
B	$T_C(t) \cdot T_F(t) = T_{0C} \cdot T_{0F}$
C	$T_{0C} \cdot T_F(t) = T_C(t) \cdot T_{0F}$
D	$T_C(t) \cdot T_F(t) = \sqrt{T_{0C} \cdot T_{0F}}$

<b>Q41</b>	L'expression de la température finale $T_f$ atteinte par les deux sources est :
A	$T_f = \sqrt{T_{0C} \cdot T_{0F}}$
B	$T_f = \sqrt{2T_{0C} \cdot T_{0F}}$
C	$T_f = 2\sqrt{T_{0C} \cdot T_{0F}}$
D	$T_f = \frac{T_{0C} + T_{0F}}{2}$

<b>Q42</b>	L'expression du travail $W$ fourni par le moteur pendant la durée du fonctionnement est :
A	$W = C \cdot (\sqrt{T_{0C}} - \sqrt{T_{0F}})^2$
B	$W = C \cdot (\sqrt{T_{0C}} + \sqrt{T_{0F}})^2$
C	$W = -C \cdot (\sqrt{T_{0C}} - \sqrt{T_{0F}})^2$
D	$W = C \cdot (\sqrt{T_{0C}} - \sqrt{T_{0F}})^2$



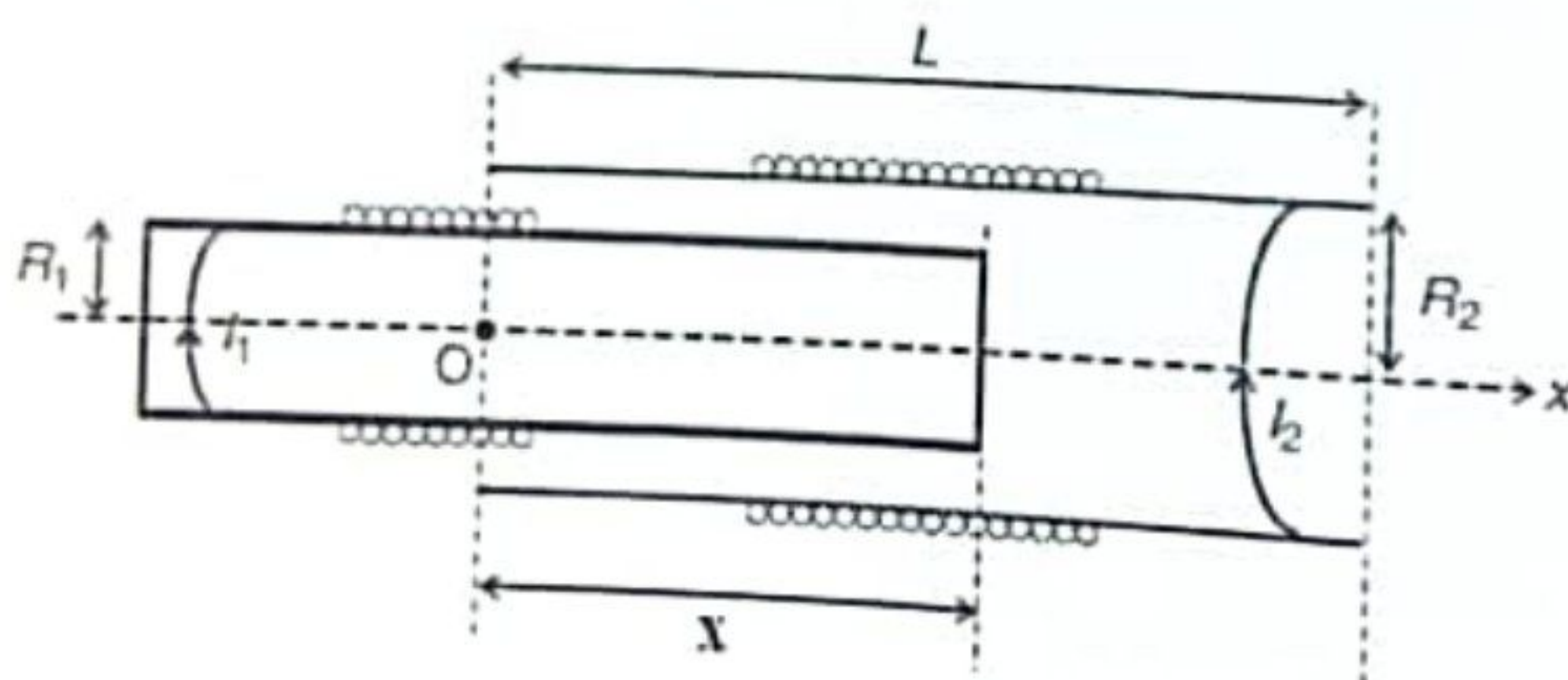
Q3	L'expression de l'efficacité thermodynamique ou rendement $e_{moteur}$ de ce moteur est :
A	$e_{moteur} = \frac{\sqrt{T_{0C}} + \sqrt{T_{0F}}}{\sqrt{T_{0C}}}$
B	$e_{moteur} = \frac{\sqrt{T_{0F}} - \sqrt{T_{0C}}}{\sqrt{T_{0C}}}$
C	$e_{moteur} = \frac{T_{0C} - T_{0F}}{T_{0C}}$
D	$e_{moteur} = \frac{\sqrt{T_{0C}} - \sqrt{T_{0F}}}{\sqrt{T_{0C}}}$

www.educaprof.com

### Électricité et électromagnétisme (23 points)

#### Partie I : Interaction magnétique de deux solénoïdes

Deux solénoïdes de même longueur  $L$ , possédant le même nombre  $N$  de spires mais de rayons différents  $R_1$  et  $R_2$  sont disposés et maintenus comme indiqué sur la figure ci-dessous. Ils sont parcourus respectivement par des courants d'intensités  $I_1$  et  $I_2$ .



Q4	L'expression du flux total crée par le grand solénoïde à travers le petit solénoïde est :
A	$\phi = \frac{\mu_0 \pi x N^2 I_1 R_2^2}{L^2}$
B	$\phi = \frac{\mu_0 \pi x N^2 I_2 R_1^2}{L^2}$
C	$\phi = \frac{\mu_0 \pi x N^2 I_2 R_1^2}{L}$
D	$\phi = \frac{\mu_0 \pi x N I_2 R_1^2}{L^2}$



<b>Q5</b>	L'expression de la résultante des forces qui s'exerce sur le petit solénoïde est :
A	$F_x = \frac{\mu_0 \pi N^2 I_1 I_2 R_1^2}{L^2}$
B	$F_x = \frac{\mu_0 \pi N^2 I_1^2 R_2^2}{L^2}$
C	$F_x = \frac{\mu_0 \pi N^2 I_2^2 R_1^2}{L}$
D	$F_x = \frac{\mu_0 \pi N I_1 I_2 R_1^2}{L^2}$

<b>Q6</b>	L'expression de l'énergie potentielle d'interaction du petit solénoïde est :
A	$W_i = -\frac{\mu_0 \pi x N^2 I_1^2 R_2^2}{L^2}$
B	$W_i = -\frac{\mu_0 \pi x N I_2^2 R_1^2}{L^2}$
C	$W_i = -\frac{\mu_0 \pi x N^2 I_1 I_2 R_1^2}{L}$
D	$W_i = -\frac{\mu_0 \pi x N^2 I_1 I_2 R_1^2}{L^2}$

<b>Q7</b>	On abandonne le petit solénoïde à lui-même, le grand restant fixe. Les expressions de la position finale $x$ de l'extrémité du petit solénoïde ainsi que son énergie potentielle d'interaction $W_f$ dans son état final sont :
A	$x = L$ ; $W_f = -\frac{\mu_0 \pi N^2 I_1 I_2 R_1^2}{L}$
B	$x = L$ ; $W_f = -\frac{\mu_0 \pi N^2 I_1^2 R_1^2}{L}$
C	$x = \frac{L}{2}$ ; $W_f = -\frac{\mu_0 \pi N^2 I_1 I_2 R_1^2}{2L}$
D	$x = \frac{L}{2}$ ; $W_f = -\frac{\mu_0 \pi N^2 I_1 I_2 R_2^2}{2L}$



Q48

L'expression du travail des forces magnétiques au cours de ce déplacement est :

A

$$W = \frac{\mu_0 \pi N^2 I_1^2 R_2^2}{L} \left( 1 - \frac{x}{L} \right)$$

B

$$W = \frac{\mu_0 \pi N I_1^2 R_2^2}{L} \left( 1 - \frac{x}{L} \right)$$

C

$$W = \frac{\mu_0 \pi N^2 I_1 I_2 R_1^2}{L} \left( 1 - \frac{x}{L} \right)$$

D

$$W = \frac{\mu_0 \pi N I_1 I_2 R_1^2}{L} \left( 1 - \frac{x}{L} \right)$$

## Partie II : lame diélectrique

Une lame diélectrique isotrope de permittivité  $\epsilon$  est placée dans le vide et soumise à un champ électrique  $\vec{E}_0$  normal à ses faces. On suppose que l'épaisseur du diélectrique est petite par rapport à ses autres dimensions, que le champ  $\vec{E}$  à l'intérieur du diélectrique à  $\vec{E}_r$  et que la polarisation  $\vec{P}$  est uniforme à l'intérieur du diélectrique.

vide

$\epsilon_0$

$\vec{E}_0$

$\epsilon$

Q49

L'expression du champ  $\vec{E}$  à l'intérieur du diélectrique est :

A

$$\vec{E} = \frac{\epsilon_0}{\epsilon} \vec{E}_0$$

B

$$\vec{E} = \frac{\epsilon_0}{\epsilon} \vec{E}_0$$

C

$$\vec{E} = \frac{\epsilon_r}{\epsilon} \vec{E}_0$$

D

$$\vec{E} = \epsilon_0 \left( 1 - \frac{1}{\epsilon_r} \right) \vec{E}_0$$

[www.educaprof.com](http://www.educaprof.com)

Q50

L'expression de la polarisation  $\vec{P}$  du diélectrique est :

A

$$\vec{P} = \epsilon \left( 1 - \frac{\epsilon_0}{\epsilon} \right) \vec{E}_0$$

B

$$\vec{P} = \frac{\epsilon_0}{\epsilon} \vec{E}_0$$

C

$$\vec{P} = \epsilon_0 \left( 1 - \frac{\epsilon_0}{\epsilon} \right) \vec{E}_0$$

D

$$\vec{P} = \epsilon_0 \left( \frac{\epsilon_0}{\epsilon} - 1 \right) \vec{E}_0$$



Q51

L'expression du champ dépolarisant  $\vec{E}_p$  dû aux charges de polarisation est :

A

$$\vec{E}_p = \frac{\vec{P}}{\epsilon_0}$$

B

$$\vec{E}_p = -\frac{1}{2\epsilon_0} \vec{P}$$

C

$$\vec{E}_p = \frac{1}{2\epsilon_0} \vec{P}$$

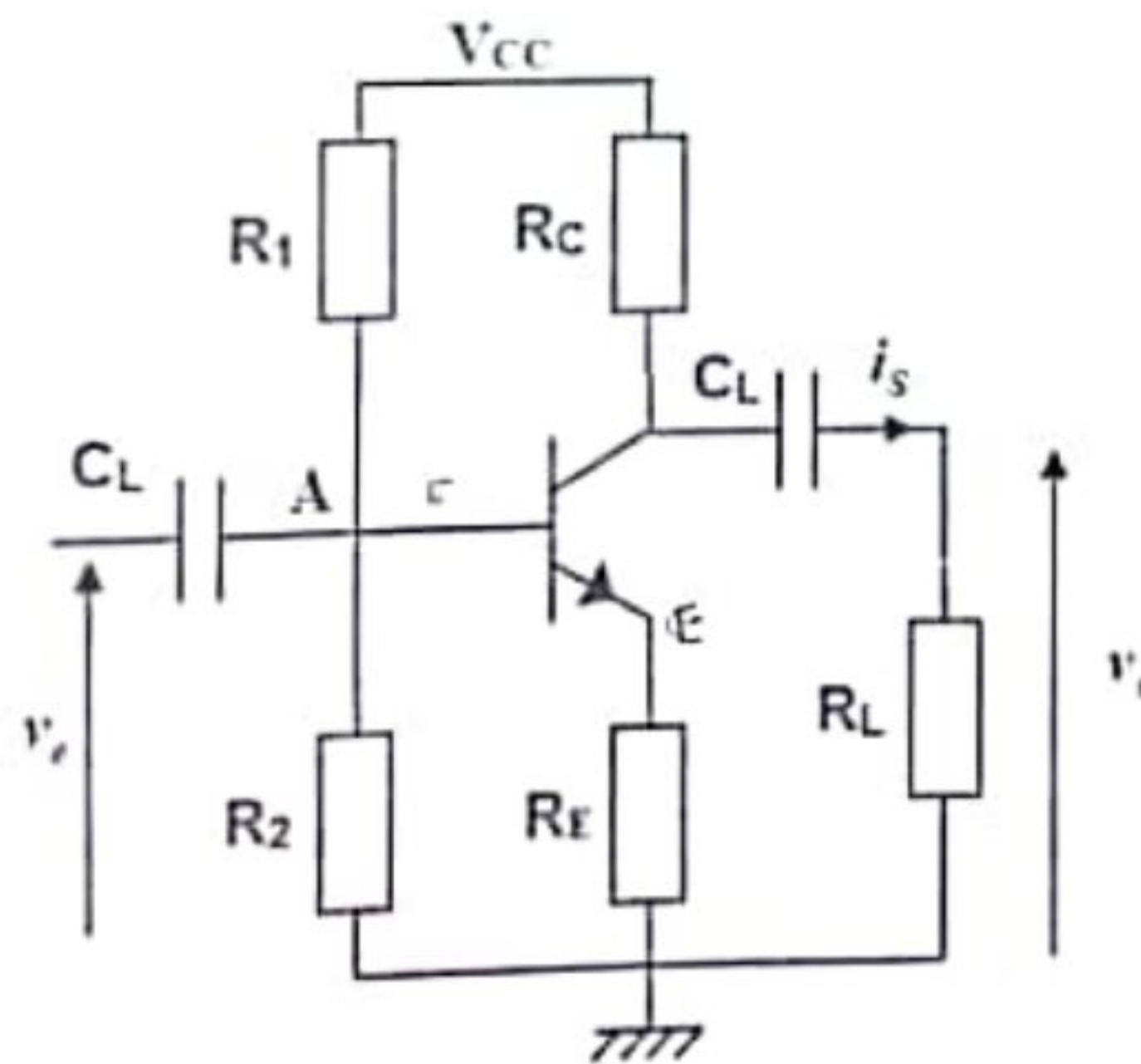
D

$$\vec{E}_p = -\frac{\vec{P}}{\epsilon_0}$$

### Partie III : Electronique analogique

On considère l'amplificateur à transistor bipolaire de la figure ci-dessous utilisé en émetteur commun. Les capacités de liaison  $C_L$  sont assimilées à des courts-circuits à la fréquence de travail. Le coefficient d'amplification en courant est noté  $\beta$ .

On pose :  $R_B = \frac{R_1 R_2}{R_1 + R_2}$





Les expressions de  $I_B$  et  $V_{CE}$  coordonnées du point de fonctionnement du montage sont:

Q52

A	$I_B = \frac{V_{CC}R_B - V_{BE}}{R_1 + (\beta + 1)R_E} ; V_{CE} = V_{CC} - [\beta R_C + (\beta + 1)R_E]I_B$
B	$I_B = \frac{V_{CC}R_B - V_{BE}}{R_2 + (\beta + 1)R_E} ; V_{CE} = V_{CC} - [\beta R_C + (\beta + 1)R_E]I_B$
C	$I_B = \frac{V_{CC}R_B - V_{BE}}{R_1 + (\beta + 1)R_E} ; V_{CE} = V_{CC} - \beta[R_C + R_E]I_B$
D	$I_B = \frac{V_{CC}R_1 - V_{BE}}{R_B + (\beta + 1)R_E} ; V_{CE} = V_{CC} - \beta[R_C + R_E]I_B$

Q53

L'expression du gain en tension  $A_V$  est:

A	$A_V = - \frac{h_{21}R_C}{(R_C + R_L)[h_{11} + (h_{21} + 1)R_E]}$
B	$A_V = - \frac{h_{21}R_C R_L}{(R_C + R_L)[h_{11} + h_{21}R_E]}$
C	$A_V = \frac{h_{21}R_C}{(R_C + R_L)[h_{11} - (h_{21} + 1)R_E]}$
D	$A_V = - \frac{h_{21}R_C R_L}{(R_C + R_L)[h_{11} + (h_{21} + 1)R_E]}$

Q54

L'expression de l'impédance de sortie  $Z_S$  en charge est:

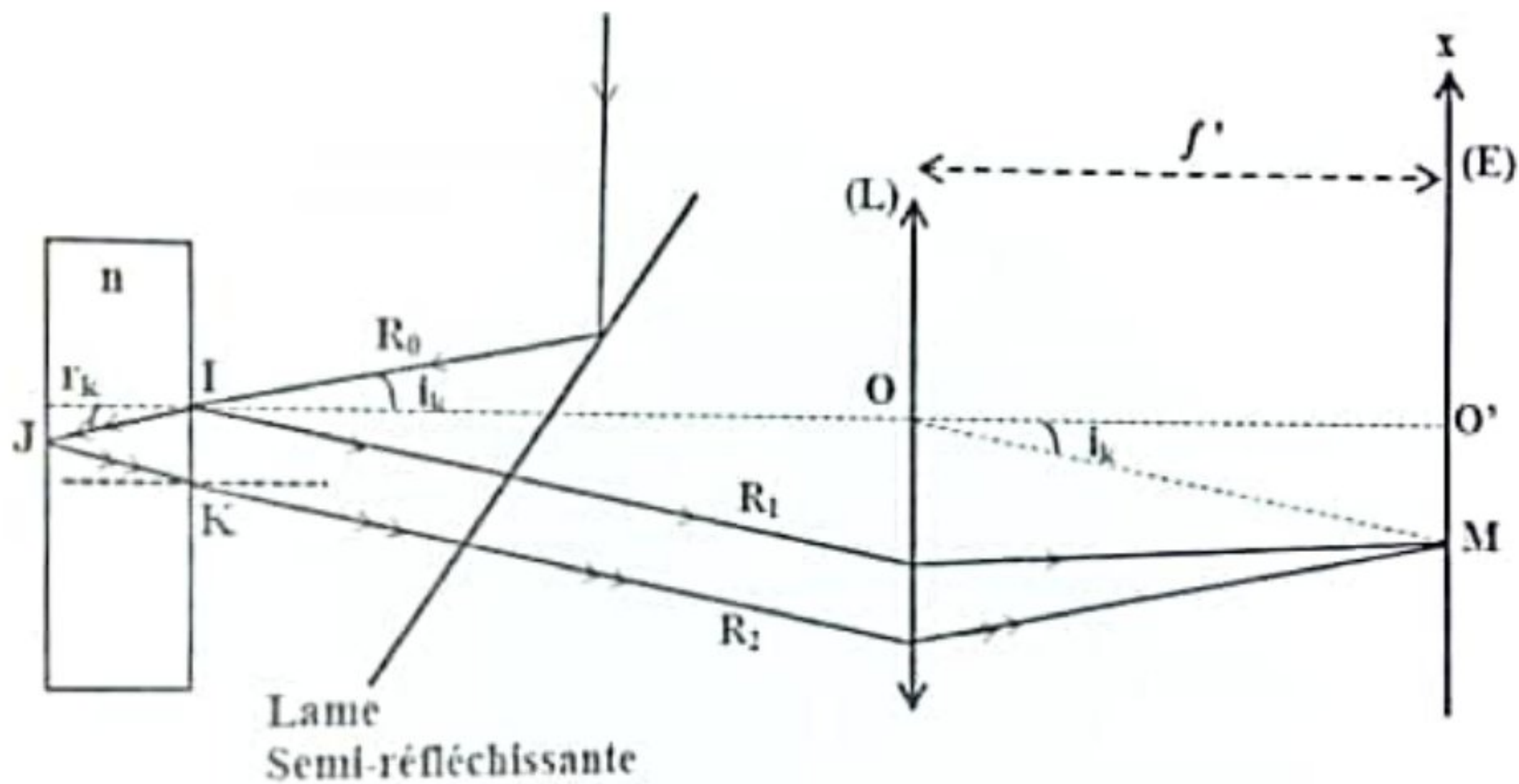
A	$Z_S = \frac{R_C \cdot R_L}{R_C + R_L}$
B	$Z_S = \frac{R_E \cdot R_L}{R_E + R_L}$
C	$Z_S = \frac{R_C \cdot R_L \cdot R_E}{R_C + R_L + R_E}$
D	$Z_S = \frac{R_C \cdot R_L}{R_C + R_L} + R_E$



## Optique et ondes (10 points)

### Partie I : Interférences lumineuses

On se propose de mesurer d'une manière précise par un procédé interférentiel l'épaisseur  $e$  d'une lame mince de verre à faces parallèles. Pour cela, on examine les franges d'interférences par réflexion produites par la lame à l'aide d'une lunette réglée pour voir un objet à l'infini. L'axe de la lunette est perpendiculaire aux faces de la lame et sa lentille a une distance focale  $f' = 30 \text{ cm}$ . Un faisceau cylindrique de lumière monochromatique de longueur d'onde  $\lambda = 0,750 \mu\text{m}$  dans l'air, arrive en incidence proche de l'incidence normale sur la lame. Pour cette radiation l'indice du verre est  $n = 1,5$ .



Q55

L'expression de l'ordre d'interférence  $p_k$  de la  $k^{\text{ème}}$  frange est :

A, 
$$p_k = \frac{2ne \cos r_k}{\lambda} + \frac{1}{2}$$

B 
$$p_k = \frac{2ne \cos r_k}{\lambda}$$

C 
$$p_k = \frac{2e \cos r_k}{\lambda} + \frac{1}{2}$$

D 
$$p_k = 2ne \cos r_k + \frac{\lambda}{2}$$



On pose  $k = p_0 - p_k$ ,  $p_0$  l'ordre d'interférence au centre. En supposant le centre sombre et les angles d'incidences  $i_k$  très faibles, l'expression du rayon de la  $k^{ème}$  frange sombre est:

- A  $x_k = f' \sqrt{\frac{\lambda}{e}} \cdot \sqrt{k}$
- B  $x_k = f' \cdot k \cdot \sqrt{\frac{n\lambda}{e}}$
- C  $x_k = f' \sqrt{\frac{n\lambda}{e}} \cdot \sqrt{k}$
- D  $x_k = f' \sqrt{\frac{\lambda}{ne}} \cdot \sqrt{k}$

Le rayon de la deuxième frange sombre mesure  $9\text{ mm}$ . La valeur de l'épaisseur  $e$  de la lame est:

- A  $e = 2,9\text{ mm}$
- B  $e = 2,5\text{ mm}$
- C  $e = 1,8\text{ mm}$
- D  $e = 1,5\text{ mm}$

## Partie II : Propagation d'une onde électromagnétiques dans le vide

Une onde électromagnétique plane sinusoïdale de pulsation  $\omega$  se propage dans le vide dans une direction  $\vec{u}$  du plan  $xOy$  faisant un angle  $\theta$  avec l'axe  $Ox$ . Le champ électrique  $\vec{E}$  de cette onde plane, polarisée rectilignement suivant la direction  $Oz$  de vecteur unitaire  $\vec{e}_z$  s'écrit en notation complexe au point  $M(x, y, z)$  à l'instant  $t$  :  $\vec{E}(M) = E_0 \cdot e^{j(\omega t - ax - by)} \vec{e}_z$

La relation qui lie  $a, b, \omega$  et  $c$  s'écrit :

- A  $\frac{\omega}{c} = \sqrt{a^2 + b^2}$
- B  $\omega \cdot c = \sqrt{a^2 + b^2}$
- C  $\frac{\omega}{c} = a^2 + b^2$
- D  $\omega \cdot c = a^2 + b^2$



Q59 La direction de propagation de l'onde est donné par :

A	$\cos \theta = \frac{b}{\sqrt{a^2 + b^2}}$ ; $\sin \theta = \frac{a}{\sqrt{a^2 + b^2}}$
B	$\cos \theta = \frac{a}{\sqrt{a^2 + b^2}}$ ; $\sin \theta = \frac{b}{\sqrt{a^2 + b^2}}$
C	$\cos \theta = \frac{a^2}{\sqrt{a^2 + b^2}}$ ; $\sin \theta = \frac{b^2}{\sqrt{a^2 + b^2}}$
D	$\cos \theta = \frac{b^2}{\sqrt{a^2 + b^2}}$ ; $\sin \theta = \frac{a^2}{\sqrt{a^2 + b^2}}$

Q100 L'expression du vecteur champ magnétique  $\vec{B}$  de l'onde est :

A	$\vec{B} = \frac{aE_0}{\omega} e^{j(\omega t - ax - by)} \vec{e}_x + \frac{bE_0}{\omega} e^{j(\omega t - ax - by)} \vec{e}_y$
B	$\vec{B} = \frac{bE_0}{\omega} e^{j(\omega t - ax - by)} \vec{e}_x + \frac{aE_0}{\omega} e^{j(\omega t - ax - by)} \vec{e}_y$
C	$\vec{B} = \frac{aE_0}{\omega} e^{j(\omega t - ax - by)} \vec{e}_x - \frac{bE_0}{\omega} e^{j(\omega t - ax - by)} \vec{e}_y$
D	$\vec{B} = \frac{bE_0}{\omega} e^{j(\omega t - ax - by)} \vec{e}_x - \frac{aE_0}{\omega} e^{j(\omega t - ax - by)} \vec{e}_y$